

I 182 : Utilisation des nombres complexes

Les nombres complexes sont un outil qui peut s'avérer être puissant lorsqu'on l'applique en géométrie planaire. Il s'agit de mieux comprendre ce lien.

I Geométrie plane

1) Modélisation du plan par \mathbb{C}

Def 1: Si $P=(x,y)$ et Q sont deux points de \mathbb{R}^2 , on définit l'affixe z_P de P par le complexe $z_P = x+iy$. L'affixe z_{PQ} de PQ est $z_Q - z_P$.

Prop 2: L'affixe d'un vecteur ne dépend pas du représentant, et pour $P, Q, R \in \mathbb{R}^2$,

- $\text{dist}(P, Q) = \|PQ\| = |z_Q - z_P|$
- l'angle (PQ, PR) vaut $\arg\left(\frac{z_R - z_P}{z_Q - z_P}\right)$

Exemples 3:

* \vec{v}, \vec{w} sont colinéairesssi $\exists \lambda \in \mathbb{R}$ $\vec{v} = \lambda \vec{w}$

* un triangle ABC est équilatéralssi $|z_B - z_A| = |z_C - z_A| = |z_B - z_C|$
 $\iff z_B - z_A = e^{\pm i\frac{\pi}{3}}(z_C - z_A)$

* un cercle de centre C et de rayon r est l'ensemble des P tels que $|z_P - z_C| = r$ (ou $\exists \theta \in \mathbb{R}$, $z_P = z_C + r e^{i\theta}$)

* La droite D passant par P et Q est l'ensemble des points d'affixe $z_P + \lambda z_{PQ}$, avec $\lambda \in \mathbb{R}$

* La droite d'équation cartésienne $ax+by+c=0$ ($a, b, c \in \mathbb{R}$) a pour équation d'affixes $Az + A\bar{z} + c = 0$ avec $A = \frac{1}{2}(a+ib)$

Thm 4: Soit (P_0, \dots, P_n) $n+1$ points du plan d'affixes (z_0, \dots, z_n) [SGN] p227
 (P_1, \dots, P_n) est un polygone de centre P_0 ssi $\forall P \in \mathbb{C}_{\neq 0}, [X], P(z_0) = \sum_{m=1}^n P(z_m)$

2) Similitudes Planes

Def 5: Une similitude plane est une application du plan qui multiplie toutes les distances par un réel fixe, appelé rapport de la similitude.

Dans la suite, on confondra l'application du plan et l'application de \mathbb{C} sur le \mathbb{C} et donc une similitude de rapport r ssi $\forall z, z' \in \mathbb{C}, |F(z)-F(z')| = r|z-z'|$.

Exemples 6:

* une rotation R de centre O d'angle θ est une similitude; $R: z \mapsto z \cdot e^{i\theta}$

* une homothétie H de centre O de rapport R est une similitude; $H: z \mapsto Rz$.

* une translation T de vecteur \vec{v} est une similitude; $T: z \mapsto z + \vec{v}$

* la symétrie d'axe (Ox) est une similitude; $z \mapsto \bar{z}$

* $z \mapsto z^2$ n'est pas une similitude.

Thm 7: Si F est une similitude, alors il existe $a, b \in \mathbb{C}$ tels que:
 $F: z \mapsto az+b$ ou $F: z \mapsto a\bar{z}+b$

Coro 8: Les similitudes planes sont bijectives, conservent les alignements et les angles. Une similitude conserve les angles orientés (et est dite directe) ou bien les inverse toutes.

L'ensemble des similitudes (resp. similitude directe) est un groupe pour la loi de composition, engendré par les rotations et homothéties en O , les translations et la symétrie d'axe Ox (resp rotations et homothéties en O et translation).

Rq 3: Conserver les rapports de distance implique donc de conserver les angles. On verra en III 1) que la réciproque est fausse.

3) Applications

Thm 10 [de Napoléon] cf annexe A. [Hahn] p61 ; [Avez] p8-9 DEV?

Soit ABC un triangle. On construit $\triangle B'A'C'$ semblable extérieur. Alors ABC et $\triangle B'A'C'$ ont le même centre de gravité, $(AA'), (BB')$ et (CC') sont concourantes. Si de plus les 3 triangles sont équilatéraux, alors $AA' = BB' = CC'$, et les centres de gravité de ces triangles forment un triangle équilatéral.

Thm 11 [Ellipse de Steiner] cf Annexe B [Eiden] p.207 [Tissier] p226 DEV?

Soit ABC un triangle, $P = (X - z_A)(X - z_B)(X - z_C)$. Il existe une unique ellipse tangente en les milieux de $[AB], [BC]$ et $[AC]$, et ses deux foyers ont pour affixes les racines de P .

II Droite projective et Homographie [Higg] ch.X

1) $P_1(\mathbb{C})$ et sphère de Riemann

Def 12: On pose sur $\mathbb{C}^2 \setminus \{(0,0)\}$ la relation d'équivalence $x \sim y$ ssi $\exists \lambda \in \mathbb{C}^*, x = \lambda y$

La droite projective complexe est alors $P_1(\mathbb{C}) := \frac{\mathbb{C}^2 \setminus \{(0,0)\}}{\sim}$

Rq 13: $P_1(\mathbb{C}) \approx \{\text{droites complexes de } \mathbb{C}^2\} \approx \mathbb{S}^2$

Rq 14: Avec \mathcal{D} la droite affine $\{(1,z), z \in \mathbb{C}\}$, on remarque que toute droite vectorielle de \mathbb{C}^2 coupe \mathcal{D} en un unique point, sauf la droite $\{(0,z), z \in \mathbb{C}\}$, et que par chaque point de \mathcal{D} passe une telle droite.
 $P_1(\mathbb{C})$ est donc en bijection avec $\mathbb{C} \cup \{\infty\}$ cf Annexe C.

Prop 15: Tout ouvert de \mathbb{C} est image par l'application précédente d'un ouvert de $P_1(\mathbb{C})$

On peut donc transférer la topologie quotient de $P_1(\mathbb{C})$ à $\mathbb{C} \cup \{\infty\}$

Les nouveaux ouverts sont les complémentaires des compacts de \mathbb{C}

Def 16: Soit $S^2 \subset \mathbb{R}^3$ la sphère euclidienne réelle, $N = (0,0,1)$, P le plan (Oxy) .
Pour $M \in S^2 \setminus \{N\}$, on définit son projeté stéréographique par l'affixe dans \mathbb{C} de l'intersection de (MN) avec P . Le projeté de N est $\{\infty\}$. Cf. Annexe D

Thm 17: L'application $p_N: S^2 \rightarrow \mathbb{C} \cup \{\infty\} \cong P_1(\mathbb{C})$ ainsi définie est un homéomorphisme, et les images des cercles de S^2 sont les cercles de $P_1(\mathbb{C})$ (les cercles ou les droites de \mathbb{C})

2) Homographies

Rq 18: L'action de $GL_2(\mathbb{C})$ sur \mathbb{C} préserve les droites. Elle induit donc une action de $GL_2(\mathbb{C})$ sur $P_1(\mathbb{C})$.

Def 19: Deux matrices de $GL_2(\mathbb{C})$ sont équivalentes si elles définissent la même action. Le quotient de $GL_2(\mathbb{C})$ pour cette relation est noté $PGL_2(\mathbb{C})$ et appelé groupe projectif linéaire complexe. Ses éléments sont appelés homographies.

Thm 20: $PGL_2(\mathbb{C}) \cong GL_2(\mathbb{C}) / \mathbb{C} \cdot I_2 \cong \{z \mapsto \frac{az+b}{cz+d}, a, b, c, d \in \mathbb{C}, ad-bc \neq 0\}$
(avec les conventions $a.\infty = \infty, b+\infty = \infty, 0.\infty = 0, \frac{z}{0} = \infty, \frac{a.\infty+b}{c.\infty+d} = \frac{a}{c}, a, c, z \in \mathbb{C}^*$)

Coro 21: Les homographies sont des bijections bicontinues de $P_1(\mathbb{C})$.

Exemple 22: Avec \mathbb{R} comme corps de base, on a de la même manière $P_1(\mathbb{R}) \cong \mathbb{R} \cup \{\infty\}$ on peut représenter les restrictions à \mathbb{R}^2 des graphes des homographies.

Dans $P_1(\mathbb{R})^2$, ces courbes sont des cercles ! Cf. Annexe E

$$\boxed{P_1(\mathbb{R})^2 \cong \mathbb{R}^2 \cup \{\infty\} \times \mathbb{R} \cup (\mathbb{R} \times \{\infty\}) \cup \{\infty, \infty\}}$$

$$\boxed{\mathbb{R}^2 \cup \mathbb{R} \cup \{\infty\} \cong P_2(\mathbb{R}) \neq P_1(\mathbb{C}) \cong \mathbb{C} \cup \{\infty\}}$$

Le comportement des homographies de $P_1(\mathbb{C})$ est similaire à celui de $P_1(\mathbb{R})$: soit affine $\mathbb{C} \rightarrow \mathbb{C}$ prolongé par $f(\infty) = \infty$ soit un pôle simple en $\frac{a}{c}$ et une limite uniforme $\frac{a}{c}$ en l'infini.

Thm 23: L'ensemble des droites et cercles de \mathbb{C} (donc les cercles de $P_1(\mathbb{C})$) est stable sous l'action des homographies.

3) Birapport

Thm 24: L'action de $PGL_2(\mathbb{C})$ sur $P_1(\mathbb{C})$ est 3-simplement transitive.

càd pour deux triplets (a_1, a_2, a_3) et (b_1, b_2, b_3) de $(P_1(\mathbb{C}))^3$, il existe une unique homographie α telle que $\alpha(a_1) = b_1, \alpha(a_2) = b_2$ et $\alpha(a_3) = b_3$ (avec $a_1 \neq a_2, a_2 \neq a_3, a_1 \neq a_3, b_1 \neq b_2, b_2 \neq b_3$ et $b_3 \neq b_1$)

Def 25: Soient z_1, z_2, z_3 et $z_4 \in P_1(\mathbb{C})$.

Il existe une unique homographie α envoyant $\begin{cases} z_1 \text{ sur } \\ z_2 \text{ sur } \\ z_3 \text{ sur } \\ z_4 \text{ sur } \end{cases}$ On définit le birapport de ces points par $[z_1, z_2, z_3, z_4] := \alpha(z_4)$

Thm 26: Le birapport est un invariant total pour l'action des homographies sur les quadruplets de $P_1(\mathbb{C})$
càd: pour $(a_1, a_2, a_3, a_4), (b_1, b_2, b_3, b_4) \in (P_1(\mathbb{C}))^4$
 $[a_1, a_2, a_3, a_4] = [b_1, b_2, b_3, b_4] \iff \exists R \in PGL_2(\mathbb{C}), \forall i \in \{1, \dots, 4\}, \alpha(a_i) = b_i$

Avec le Thm 23, sachant que $0, 1, \infty$ ne sont alignés qu'avec le réel, on déduit:

Thm 27: Quatre points sont alignés ou cocycliques si et leur birapport est réel.

Il ne reste plus qu'à trouver un moyen simple de calculer le birapport.

Prop 28: Avec les conventions du thm 20,
$$[z_1, z_2, z_3, z_4] = \frac{z_1-z_3}{z_2-z_3} \cdot \frac{z_2-z_4}{z_1-z_4}$$

Exemple 29:

$$*[1, i, -1, -i] = \frac{2}{i+1} / \frac{i+1}{2i} = \frac{4i}{(i+1)^2} = 2 \text{ donc ces points sont alignés ou cocycliques.}$$

III Exemples d'applications de la géométrie projective

1) Théorème de l'application conforme

Def 30: Une application du plan est dite conforme (resp. directe, resp. indirecte) si elle conserve les angles (resp. angles orientés, resp. inverse les angles orientés).

Prop 31: Une application conforme est soit directe, soit indirecte.

Exemple 32:

* Les similitudes planes sont conformes

* $z \mapsto \frac{1}{z}$ est conforme directe

* $z \mapsto \overline{z}$ est conforme indirecte.

Thm 33: Les applications conformes directes de $P_1(\mathbb{C})$ sont exactement les homographies

Rq 34: Si f est conforme indirecte, alors $z \mapsto \overline{f(z)}$ est directe.

Rq 35: Les applications de 14-15 et de 16-17 dans le II 2 conservent les angles, il y a donc cohérence à parler d'angles dans $P_1(\mathbb{C})$

2) Groupe circulaire [Audin] VII-7-11 (p 204)

Def 36: le groupe circulaire de \mathbb{C} est le groupe engendré par les homographies et la conjugaison complexe.

Le théorème suivant donne alors une sorte de réciproque au Thm 23:

[Thm 37]: Le groupe circulaire est exactement l'ensemble des applications conservant les droites et cercles de \mathbb{C} DEV

Avec le Thm 33 vient alors le résultat géométrique suivant:

[Coro 38]: Une application du plan conserve les angles ssi elle conserve l'ensemble des droites et des cercles.

3) Théorème de Ptolémée

À l'aide du puissant outil qu'est le biraport, on démontre simplement le résultat ancestral suivant:

[Thm 39] [de Ptolémée]:

Soit $ABCD$ un quadrilatère. Il existe un cercle circonscrit au quadrilatère ssi le produit de ses diagonales est égal à la somme des produits de ses côtés opposés.

Rq 40: Dans le cas où $ABCD$ est un rectangle, cela nous donne le théorème de

IV) Quaternions et applications en géométrie dans l'espace [Per] Pythagore

Le fait que \mathbb{C} soit un corps et un \mathbb{R} -espace de dimension 2 nous donne de puissants outils pour la géométrie plane. Malheureusement, ces outils sont inutiles en géométrie dans l'espace.

1) Définition

Def 41: Soit \mathbb{H} la \mathbb{R} -algèbre de dimension 4 engendrée par $1, i, j, k$ en tant qu'espace vectoriel; avec $i^2 = j^2 = k^2 = ijk = -1$.

\mathbb{H} est appelée algèbre des quaternions, c'est une algèbre à division (corps non commutatif).

Def 42: Si $h = a + bi + cj + dk$, $a, b, c, d \in \mathbb{R}$, on appelle $N(h) = a^2 + b^2 + c^2 + d^2$ la norme de h , et $\bar{h} = a - bi - cj - dk$ le conjugué de h .

Rq 43: $N(h\bar{h}) = N(h)N(\bar{h})$ et $N(h) = h\bar{h} = \bar{h}h$.

Rq 44: Réalisation matricielle:

\mathbb{C} peut être vu comme un sous-ensemble de $GL_2(\mathbb{R})$, avec $1_{\mathbb{C}} = \begin{pmatrix} 1 & 0 \\ 0 & 1 \end{pmatrix}$ et $i_{\mathbb{C}} = \begin{pmatrix} 0 & -1 \\ 1 & 0 \end{pmatrix}$

De la même manière, \mathbb{H} peut se construire comme sous-ensemble de $GL_2(\mathbb{C})$ (ou de $GL_4(\mathbb{R})$), avec $1_{\mathbb{H}} = \begin{pmatrix} 1 & 0 \\ 0 & 1 \end{pmatrix}$, $i_{\mathbb{H}} = \begin{pmatrix} i & 0 \\ 0 & 1 \end{pmatrix}$, $j_{\mathbb{H}} = \begin{pmatrix} 0 & 1 \\ -1 & 0 \end{pmatrix}$ et $k_{\mathbb{H}} = \begin{pmatrix} 0 & i \\ i & 0 \end{pmatrix}$

2) Utilisation de \mathbb{H} en géométrie

Rappel 45: $SU_2(\mathbb{C}) = \left\{ \begin{pmatrix} a & -b \\ b & a \end{pmatrix} / |a|^2 + |b|^2 = 1 \right\}$

[Prop 46]: $SU_2(\mathbb{C})$ est isomorphe à l'ensemble des quaternions de norme 1

* En dimension 3:

[Prop 47]: $SU_2(\mathbb{C})$ agit sur \mathbb{H} par conjugaison, et stabilise l'ensemble des imaginaires purs de \mathbb{H}

[Thm 48]: $SU_2(\mathbb{C}) / \{(I_2, -I_2)\} \approx SO_3(\mathbb{R})$

Cela fournit un moyen peu coûteux de composer des rotations, et est très utilisé, notamment dans la programmation de jeux vidéo.

* En dimension 4:

On fait agir $SU_2(\mathbb{C}) \times SU_2(\mathbb{C})$ sur \mathbb{H} par $((h, k), v) \mapsto \bar{h}v\bar{k}^{-1}$ quaternions associés à h et k par $h \mapsto \bar{h}$

[Thm 49]: * $(SU_2(\mathbb{C}))^2 / \{(I_2, I_2), (-I_2, -I_2)\} \approx SO_4(\mathbb{R}) \rightarrow$ "rotations" de \mathbb{R}^4 (isométries directes).
* $(SU_2(\mathbb{C}) / \{(I_2, -I_2)\})^2 \approx PSO_4(\mathbb{R})$

[Asgg]: P. Caldero, J. Germoni; Histoire et didactique de groupes et de géométries, tome 1 (Calvage & Mounet)

[Per]: D. Perrin; Cours d'algèbre (ellipses)

[Hal]: L.-S. Hahn; Complex numbers and geometry (of America)

[Avez]: A. Avez; La géométrie en géométrie à l'oral de l'agregation (Masson)

[Eiden]: J.-D. Eiden; Géométrie analytique classique (C & M)

[Tissier]: A. Tissier; Méthodologies (minimes) (Briot)

[Tisseron]: C. Tisseron; Géométrie affine, projective et euclidienne

[Audin]: M. Audin; Géométrie (EDP Sciences)

Autre fois possible:
Action du groupe

modulaire sur le

demi-plan de

Poincaré

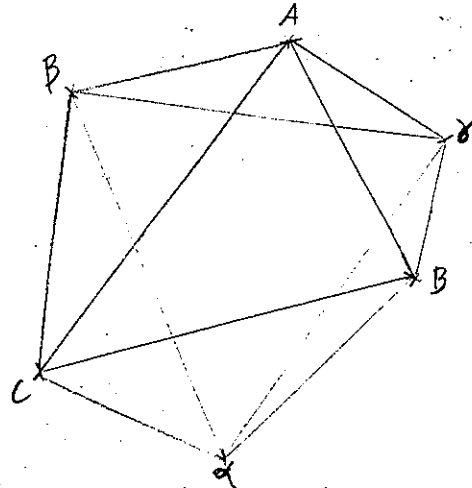
cf. M. Alessandrini

Thèmes de géométrie

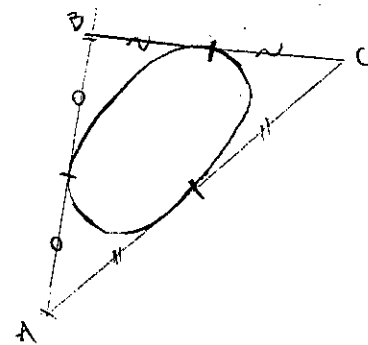
groupes en situation

géométrique (Dunod)

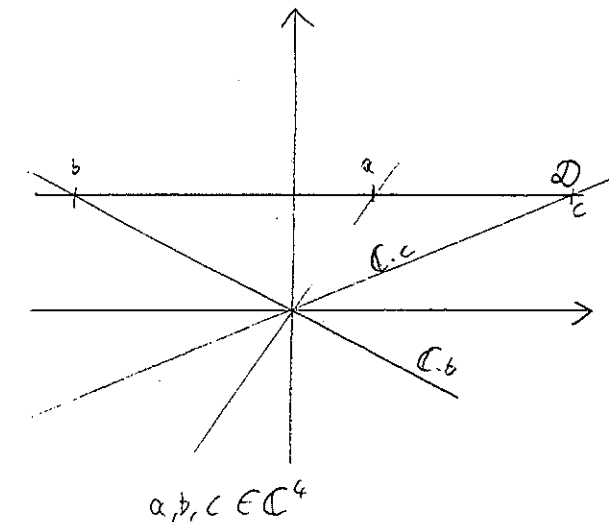
Annexe A: Configuration de Napoléon



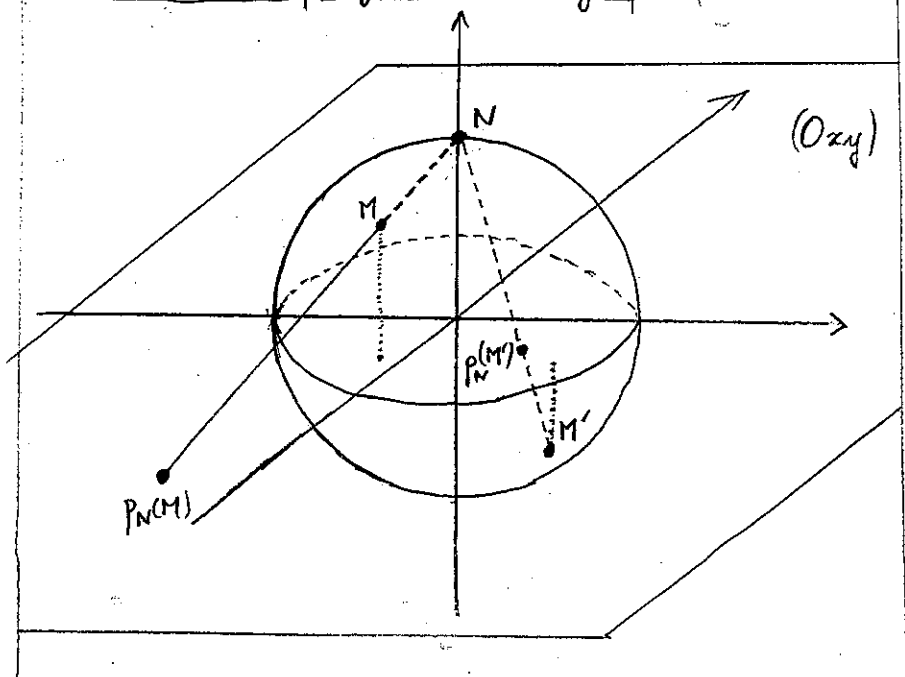
Annexe B: Ellipse de Steiner



Annexe C: $P_1(\mathbb{C}) \approx \mathbb{C} \cup \{\infty\}$



Annexe D: La projection stéréographique:



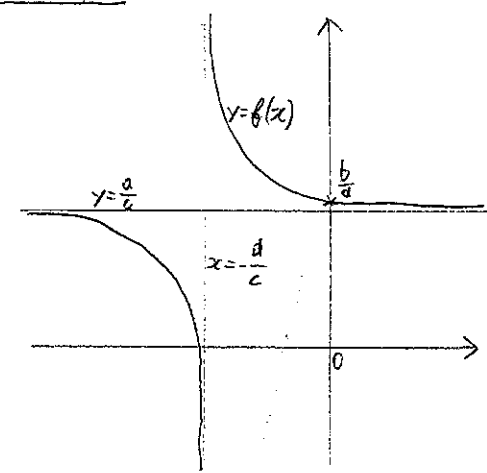
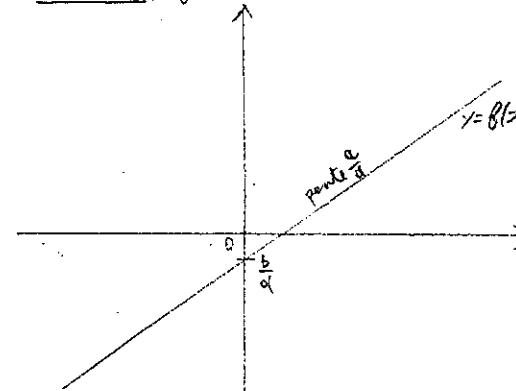
Annexe E: Les homographies réelles: $a, b, c, d \in \mathbb{R}$

$$f: P_1(\mathbb{R}) \rightarrow P_1(\mathbb{R})$$

$$z \mapsto \frac{az+b}{cz+d}$$

* si $c=0$, $f(\infty)=\infty$

* si $c \neq 0$:



Groupe circulaire

Soit G le groupe engendré par les homographies et la conjugaison complexe, X l'ensemble des droites et cercles de $P_1(\mathbb{C})$, $Q = \{\varphi : P_1(\mathbb{C}) \rightarrow P_1(\mathbb{C}) \text{ bijective} / \varphi(X) \subseteq X\}$

Thm: $G = Q$

Dém du \subseteq : On sait que les homographies préserrent X , et la conjugaison est une symétrie, donc $\text{conj}(X) \subseteq X$.

Donc, $G \subseteq Q$.

Pour le \supseteq , on va passer par plusieurs lemmes:

Lemme 0: $\forall a, b, c \in P_1(\mathbb{C})$, on a: $[a, b, c, \infty] = [b, a, \infty, c]$

De plus $[a, b, c, \infty] = -1$ si $c = \frac{a+b}{2}$.

Dém: On développe le biraport et le reste suit immédiatement.

Réf: (a, b, c, d) est une division harmonique si $[a, b, c, d] = -1$.

Lemme ①: Si $f : P_1(\mathbb{C}) \rightarrow P_1(\mathbb{C})$ est une bijection préservant les divisions harmoniques et telle que $f(0) = 0$, $f(1) = 1$ et $f(\infty) = \infty$, alors $f = \text{id}_C$ ou conj_C .

Lemme ②: Si $\varphi \in Q$, alors φ préserve les div. harmoniques.

Pour démontrer le théorème et le lemme ②, remarquons que si h est une homographie, et $\varphi \in Q$, alors $\varphi \circ h \circ \varphi^{-1} \in G$.

Donc, par 3-transitivité de $\text{PGL}_2(\mathbb{C}) \cap P_1(\mathbb{C})$, on peut supposer que $\varphi(0) = 0$, $\varphi(1) = 1$ et $\varphi(\infty) = \infty$, et c'est ce que nous ferons.

Dém du \supseteq : Soit $\varphi \in Q$, et supposons $\varphi(0) = 0$, $\varphi(1) = 1$ et $\varphi(\infty) = \infty$.

Alors, d'après ②, φ préserve les div. harm., donc d'après ①,

$\varphi_c = \text{id}_C$ ou conj., donc $\varphi \in G$, ce qui conclut la démonstration.

Passons à la démonstration des lemmes:

Dém ①: On va dém que f est un autom de corps fixant \mathbb{R} , donc nécessairement id_C ou conj.

* f additive : D'après le lemme 0, $\forall a, b, [\frac{a+b}{2}, \infty] = -1$

Donc, en appliquant f : $[f(a), f(b), f(\frac{a+b}{2}), \infty] = -1$,

et d'après le lemme 0, $f(\frac{a+b}{2}) = \frac{f(a) + f(b)}{2}$. En particulier,

alias, si $b=0$, $f(\frac{a}{2}) = \frac{f(a)}{2}$, d'où $f(a+b) = f(a) + f(b)$.

* f multiplicatice : $\forall x \in P_1(\mathbb{C})$, on a $[x, -x, x^2, 1] = -1$

(en développant le bireport). Donc, en prenant $x=f(a)$,

on a $[f(a), -f(a), f(a)^2, 1] = -1$, et en prenant $x=\alpha$,

et en appliquant f , on a $[f(a), f(-a), f(a^2), 1] = -1$.

Or, $f(-a) = -f(a)$, et par unicité du bireport, $f(a)^2 = f(a^2)$.

Finalement, $ab = (\frac{a+b}{2})^2 - (\frac{a-b}{2})^2$, et d'après ce qui

précède, $f(ab) = (\frac{f(a)+f(b)}{2})^2 - (\frac{f(a)-f(b)}{2})^2 = f(a)f(b)$.

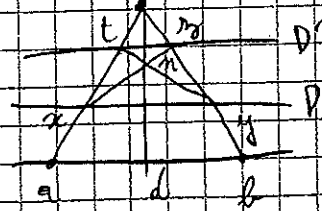
* Donc $f \in \text{Aut}(\mathbb{C})$, $f|_{\mathbb{R}}$ fixe \mathbb{R} , donc $f|_{\mathbb{R}} = \text{id}_{\mathbb{R}}$ ou conj.

Dém du ②: Soit $\varphi \in Q$, et supposons $\varphi(0)=0$, $\varphi(1)=1$ et

$\varphi(\infty)=\infty$. Soient $a, b, c \in P_1(\mathbb{C})$; et construisons d tel

que $[a, b, c, d] = -1$ (d est unique). On va à appliquer une homographie, on peut supposer $c=\infty$.

Soit m tel que a, b, m est équilat.



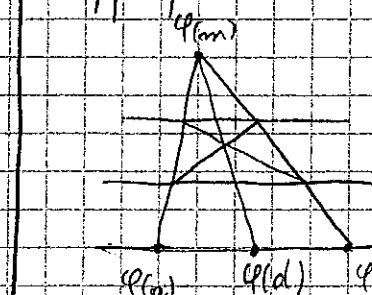
Soient D, D' deux droites parallèles

à (a, b) passant par a, b, m , et

soient m, x, y, z les points d'intersection

Soit m l'intersection des diagonales de $xyzt$, et soit d l'intersection de (mn) et (ab) . Comme $ab \sim mn$ est équilatéral, $d = \frac{a+b}{2}$, et d'après le lemme O, $[a, b, \infty, d] = -1$.

Appliquons alors φ à la figure :



$\varphi(m)$ est extérieur à $\varphi(a), \varphi(b)$ puisque φ conserve l'alignement, et (xy) et (zt) , qui intersectent (ab) à l'infini, sont envoyées sur des droites intersectant $\varphi(a)\varphi(b)$ à l'infini, donc parallèles, ce qui explique la figure ci-dessus.

On veut montrer que $\varphi(d) = \frac{\varphi(a) + \varphi(b)}{2}$. Soit $u \in \text{Aff}(\mathbb{R}^2)$ envoyant $\varphi(a)\varphi(b)\varphi(m)$ sur un triangle équilatéral.

Comme u préserve les milieux et les parallèles, on arrive dans la situation du dessin précédent, donc

$$u\varphi(d) = \frac{u\varphi(a) + u\varphi(b)}{2}, \text{ d'où } \varphi(d) = \frac{\varphi(a) + \varphi(b)}{2}, \text{ et } \varphi$$

préserve donc les divisions harmoniques.